

Avant de simuler...

	Introduction	Validité
Avantages	<ul style="list-style-type: none"> reproductible sur différentes configurations estimer des quantités difficiles à mesurer <i>in situ</i> accélération (temps simulé) gain d'argent (équipement) n'interfère pas avec le système opérationnel Peut répondre à "what if?" plus réaliste qu'un modèle analytique 	
Inconvénients	<ul style="list-style-type: none"> bugs effet des conditions initiales système non stationnaire mauvais critères d'arrêt coûteux à développer mauvaise analyse statistique des résultats mauvais modèle 	
F. Perronnin (UJF)	Évaluation de Performances	February 17, 2009 7 / 51

Validation

	Introduction	Validité
Définition	Valider signifie s'assurer que le modèle simulé est représentatif de la réalité et donne des résultats fiables.	
	<ul style="list-style-type: none"> valider les hypothèses représentativité des input validation du modèle ergodicité réalisme et explicable des résultats 	
Méthodes de validation	<ul style="list-style-type: none"> comparaison avec un système réel sur un benchmark modèle analytique raisonnement 	
F. Perronnin (UJF)	Évaluation de Performances	February 17, 2009 8 / 51

Vérification

	Introduction	Validité
Définition	Mais aussi...	
	<ul style="list-style-type: none"> Vérifier signifie s'assurer que le modèle choisi a été correctement implémenté (structures, bugs). 	
	<ul style="list-style-type: none"> validation de logiciel validation stochastique du générateur aléatoire 	
F. Perronnin (UJF)	Évaluation de Performances	February 17, 2009 9 / 51

Définitions

	Introduction	Modélisation
Définition	le temps simulé est l'instant auquel un événement du système réel a lieu.	
	Les différents rôles du temps simulé :	
	<ul style="list-style-type: none"> contrôle : Le temps simulé permet de contrôler le flot d'exécution. (Ex: action simultanées traitées séquentiellement) durée : La durée effective d'une simulation est sans commune mesure avec la durée simulée. (Ex: événements consécutifs séparés d'un temps très grand ou infinitésimal) manipulation du temps : le temps dirige la simulation: <ul style="list-style-type: none"> simulation équationnelle (récurrente): calcul à chaque instant d'arrivée simulation à événements discrets : échéancier propriétés : le temps peut être discret ou continu 	
F. Perronnin (UJF)	Évaluation de Performances	February 17, 2009 10 / 51

Stationnarité

	Introduction	Modélisation	Stationnarité
Définition	un événement est un changement d'état du système (aussi appelé transition).		
	Les événements sont les instants intéressants d'une simulation. Le nombre d'événements va influencer le temps de calcul de la simulation. On parle de simulation à événements discrets lorsque l'espace d'états est discret et que la simulation est basée sur les événements.		
Example	arrivées et départs de paquets dans une M/G/1		
Contre-exemple	simulation de l'écoulement d'un fluide.		
	Attention à la dépendance aux conditions initiales et à la durée de simulation (stationnarité asymptotique)		
F. Perronnin (UJF)	Évaluation de Performances	February 17, 2009 11 / 51	F. Perronnin (UJF) Évaluation de Performances February 17, 2009 12 / 51

<h2>Critère d'arrêt</h2> <p>événement terminal Événement dont l'occurrence met fin à la simulation. Son observation constitue l'objectif de la simulation.</p> <p>Example durée de transfert d'un fichier, état d'une pièce après 10 000 torsions, etc.</p>	<p>Lorsqu'il n'existe pas d'événement terminal, il faut déterminer à quel instant (simulé) l'on doit arrêter la simulation.</p> <p>critère d'arrêt Un définit les conditions dans lesquelles le système simulé se trouve pour terminer le programme de simulation.</p>	<p>F. Perronnin (UJF) Évaluation de Performances February 17, 2009 13 / 51</p>
<h2>État stationnaire</h2> <p>Problème Lorsqu'une simulation n'a pas d'événement terminal, il faut s'assurer de la stationnarité du système observé, afin de ne pas dépendre de l'âge et des conditions initiales.</p>	<p>Méthodes possibles:</p> <ul style="list-style-type: none"> • Points de régénération • Simulation parfaite • Tests de stationnarité • Élimination de la période transiente 	<p>F. Perronnin (UJF) Évaluation de Performances February 17, 2009 14 / 51</p>
<h2>Processus non stationnaires</h2>	<h2>Points de régénération</h2> <p>Definition un processus stochastique $X(t)$ est un processus de régénération (regenerative process) s'il est composé de cycles i.i.d. [Asmussen] les états séparant les cycles sont appelés des points de régénération.</p> <p>Example Pour une file d'attente M/M/1, les instants où la file est vide sont des points de régénération.</p>	<p>On peut alors simuler le système sur un cycle complet pour s'affranchir des conditions initiales.</p>
<p>F. Perronnin (UJF) Évaluation de Performances February 17, 2009 15 / 51</p>	<p>F. Perronnin (UJF) Évaluation de Performances February 17, 2009 16 / 51</p>	<p>F. Perronnin (UJF) Évaluation de Performances February 17, 2009 17 / 51</p>
<h2>Classification</h2>	<h2>Types de modèles</h2> <p>Rappel: une simulation est un programme qui déroule le comportement d'un modèle du système étudié. Selon les cas, ce modèle peut être:</p> <ul style="list-style-type: none"> • aléatoire vs déterministe <ul style="list-style-type: none"> ▶ Arrivées de clients / propagation d'une onde de choc • avec ou sans événement terminal <ul style="list-style-type: none"> ▶ durée d'exécution vs temps moyen de réponse • asymptotiquement stationnaire / non stationnaire <ul style="list-style-type: none"> • statique/dynamique ▶ Monte-Carlo vs évolution d'un système 	<h2>Outline</h2> <ol style="list-style-type: none"> 1 Introduction 2 Classification <ul style="list-style-type: none"> • Types de modèles • Types de Simulation • Outils de simulation 3 Simulation Monte-Carlo 4 Simulation à événements discrets 5 Ergodicité 6 Conclusion

Types de Simulation

- ➊ simulation à événements discrets (event-driven)
- ➋ simulation de traces (trace-driven).

Inconvénients:

- ▶ crédible
- ▶ validation
- ▶ charge réaliste
- ▶ résultats détaillés
- ▶ comparaison équitable
- ➌ simulation équationnelle (stochastic recurrence)
- ➍ simulation Monte Carlo

F. Perronnin (UJF) Évaluation de Performances February 17, 2009 19 / 51

Outils de simulation

Choix entre 3 techniques:

- programme ad hoc dans un langage générique :
 - ▶ C, C++, Java...
- programme ad hoc dans un langage de simulation :
 - ▶ SIMULA, CSIM, SIMSCRIPT GPSS...
- simulateur existant :
 - ▶ simulateurs de réseaux : ns2, NSE, daSSF...
 - ▶ simulateurs d'applications : LAPSE, SimGrid...

Choix de l'outil

Attention à vérifier l'adéquation de l'outil aux besoins!

- temps de formation
- temps de développement
- finesse du simulateur...

F. Perronnin (UJF) Évaluation de Performances February 17, 2009 20 / 51

Outline

- ➊ Introduction
- ➋ Classification
- ➌ Simulation Monte-Carlo
 - ➍ Origine
 - ➎ Exemple
- ➏ Simulation à événements discrets
- ➐ Ergodicité
- ➑ Conclusion

F. Perronnin (UJF) Évaluation de Performances February 17, 2009 21 / 51

Principe de la simulation Monte-Carlo

On appelle méthodes de Monte-Carlo les procédés visant à calculer une valeur numérique en utilisant des **quantités aléatoires**.

Le véritable développement des méthodes de Monte-Carlo s'est effectué, sous l'impulsion de Stanislaw Ulam, Enrico Fermi et John von Neumann lors de la Seconde Guerre mondiale et des recherches sur la fabrication de la bombe atomique. Notamment, ils ont utilisé ces méthodes probabilistes pour résoudre des équations aux dérivées partielles.





F. Perronnin (UJF) Évaluation de Performances February 17, 2009 22 / 51

Les aiguilles de Buffon

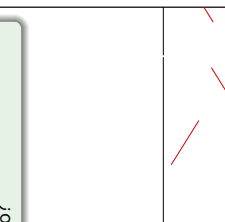
Calcul de π

Comment calculer π par une méthode de Monte-Carlo?

Algorithme de Buffon

On fait tomber plusieurs aiguilles de longueur ℓ sur un plancher dont les lames sont de largeur t (avec $t > \ell$) et on calcule la proportion d'aiguilles qui reposent sur plusieurs lames.

Soit x la distance de l'aiguille à la plus proche jointure et θ l'angle aigu entre l'aiguille et les lames. L'aiguille touche deux lames dès que

$$x \leq \frac{\ell}{2} \sin \theta.$$


F. Perronnin (UJF) Évaluation de Performances February 17, 2009 23 / 51

Remarques

Remarquons que x est uniformément distribué sur $[0, t/2]$, θ est uniformément distribué sur $[0, \pi/2]$ et ils sont indépendants. La probabilité que l'aiguille touche deux lames vaut

$$\int_0^{\frac{\pi}{2}} \int_{\frac{t}{2}}^{t(\ell/2) \sin \theta} \frac{4}{t} dx d\theta = \frac{2\ell}{t\pi}.$$

En faisant tomber N aiguilles et en notant h_N le nombre d'aiguilles qui traversent une jointure, on obtient

$$\pi = \lim_{N \rightarrow \infty} \frac{N}{h_N} \frac{2\ell}{t},$$

en utilisant la **loi des grands nombres**.

F. Perronnin (UJF) Évaluation de Performances February 17, 2009 24 / 51

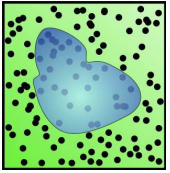
L'expérience de Lazzarini

Mario Lazzarini un mathématicien Italien a réalisé l'expérience de Buffon en 1901. En lançant 3408 aiguilles, il a obtenu comme estimation de π , $355/113$, soit une erreur inférieure à 2.10^{-7} !

En fait, on peut penser que Lazzarini a biaisé son expérience... Il avait choisi un rapport $\ell/t = 5/6$. Dans ce cas, on obtient $\pi \approx 5/3 \times N/h$.

Si de plus, on fait en sorte que $h = 113N/213$, alors on obtient $355/113$ comme approximation de π , qui s'avère être la meilleure approximation rationnelle de π avec des facteurs de moins de 5 chiffres.

Or $3408 = 213 \times 16\dots$



Calculs d'intégrales

En général, la précision du calcul est en $O(1/\sqrt{N})$, par le **Théorème Central Limite**. Cette technique (améliorée par l'utilisation de lois non-uniformes) a été utilisée à Los Alamos pour faire les calculs nécessaires à la mise au point de la fusion nucléaire.

Remarque

Ces techniques ont besoin d'un générateur aléatoire de grande qualité.

Échantillonner une loi

Le principe: calculer des échantillons d'une loi de probabilité. On considère une variable aléatoire X finie, qui suit une loi p . ($X = x_i$ avec probabilité p_i , pour $i = 1, \dots, N$).

Pour simuler X , on peut utiliser la technique suivante:

On **génère** une variable aléatoire U **uniforme** sur $[0, 1]$ et on calcule $X = \phi(U)$ avec

$$\phi(u) = \begin{cases} x_1 & \text{si } u \in [0, p_1], \\ x_2 & \text{si } u \in [p_1, p_1 + p_2], \\ \vdots & \vdots \\ x_N & \text{si } u \in [p_1 + p_2 + \dots + p_{N-1}, 1]. \end{cases} \quad (1)$$

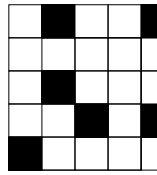
Dans la pratique cette technique est inutilisable quand la taille de l'espace d'état, N , est grande.

L'idée de la simulation MCMC est de construire une suite de variables aléatoires $X_0, X_1 \dots X_n \dots$ dont la loi limite est p , indépendamment de X_0 . Puis de simuler cette suite (chaîne) pendant un temps assez long.

Il est légitime de se poser la question: comment cela peut-il être plus efficace que de construire une variable aléatoire dont la distribution est directement p ?

Simulation Monte-Carlo sur un exemple

Soit un quadrillage d'un carré $N \times N$ du plan. Une configuration du système donne les valeurs 0 ou 1 à toutes les cases du Carré, sans que deux 1 ne soient adjacents.



Voici une solution qui ne nécessite pas le calcul de Z . On choisit X_0 (une configuration initiale valide quelconque, par exemple, toutes les cases sont à 0). Et on calcule X_{t+1} de la manière suivante.

- On choisit une case au hasard.
- On tire à pile ou face.
- Si pile alors la case passe à 1 (si c'est autorisé).
- Si face, la case passe à 0.

On veut calculer une configuration qui suit la loi uniforme: Si on note Z le nombre de configurations possibles, alors chacune a une probabilité $1/Z$.

Ce problème est difficile à résoudre de manière directe (déjà le calcul de Z n'est pas facile...).

Théorème
Si on itère un grand nombre de fois, on obtient une configuration typique du système.

Outline

- 1 Introduction
- 2 Classification
- 3 Simulation Monte-Carlo
- 4 Simulation à événements discrets
 - Définition
 - Architecture
 - Efficacité
- 5 Ergodicité
- 6 Conclusion

Simulation à événements discrets

La simulation à **événements discrets** simule des systèmes à **états discrets** mais qui peuvent être à **temps continu** ou à **temps discret**.

Example

- Une file GI/GI/1 est un système à états discrets et à temps continu.
- Un écoulement de fluide n'est **pas** à états discrets.
- Une marche aléatoire (ex: TD Tom & Jerry) est à états discrets et à temps discret.

Programme principal

Bootstrap { Crée le 1^{er} événement et l'insère dans l'échéancier; }
repeat
 avancer l'horloge à l'instant t du prochain événement e
 Mettre à jour les variables dépendant du temps t
 Exécuter e { actions sur l'état et insertion/suppression d'événements dans l'échéancier }
 Retirer e de l'échéancier
until critère d'arrêt satisfait
Terminaison { calculer les statistiques finales et produire le rapport }

Architecture

Composants classiques :

- État du système (variables)
- Routines pour chaque événement
- Initialisation
- Récupération des input
- Enregistrement (traces, stats)
- Gestion de la mémoire
- Programme principal...

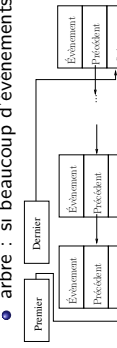
Composants SED

- **horloge** (variable temps)
- mécanisme d'avancement du temps
- **échéancier** (scheduler)
- **noyau de synchronisation**
- bootstrap
- critère d'arrêt

Noyau de synchronisation

Le **noyau de synchronisation** est le module qui effectue les opérations sur l'échéancier :

- insertion d'événement
- accès au prochain événement
- suppression du prochain événement
- annulation d'un événement quelconque
- maintenir événements non datés
- dater un événement
- classer les événements simultanés



Ce module est le **plus fréquemment** exécuté dans le programme. Son optimisation est directement liée à la structure de l'échéancier.

L'échéancier est la structure de données qui stocke les événements potentiels.

- Le choix de sa structure dépend des caractéristiques du modèle:
- liste (doublement) chaînée : coût de recherche
 - liste chaînée indexée par intervalle de temps (ex calendrier annuel)
 - tableau trié : coût d'insertion
 - arbre : si beaucoup d'événements

Échéancier

Efficacité	Simulation à événements discrets	Efficacité
<p>L'efficacité du noyau de synchronisation tient à :</p> <ul style="list-style-type: none">• l'adéquation de la structure de l'échéancier au modèle simulé• l'algorithme d'entretien de l'échéancier• le nombre d'événement stockés simultanément• la distribution du temps entre les événements		February 17, 2009 37 / 51

Ergodicité	Évaluation de Performances	February 17, 2009	39 / 51
<h2>Systèmes ergodiques</h2> <p>Dans la plupart des systèmes considérés, (en particulier en mécanique statistique) les quantités d'intérêt concernent les moyennes définies sur l'ensemble des états accessibles (ou configurations). Une simulation Monte-Carlo ou de dynamique moléculaire donne une moyenne temporelle, sur une trajectoire d'un système dynamique.</p> <p>Ces deux moyennes ne coïncident, que si le système est <i>ergodique</i> (<i>Von Neumann, Gibbs, Birkhoff (1931)</i>).</p> <p>Ainsi sans la condition d'ergodicité, les simulations numériques deviennent caduques.</p>			

Simulation de la croissance des villes

Outline	Ergodicité	Évaluation de Performances	February 17, 2009	38 / 51
1 Introduction				
2 Classification				
3 Simulation Monte-Carlo				
4 Simulation à événements discrets				
5 Ergodicité				
6 Conclusion				

Ergodicité	Exemple	Évaluation de Performances	February 17, 2009	40 / 51
	<h2>Croissance des villes et la loi de Zipf</h2> <p>Un système sur n sites suit une loi de Zipf si la taille d'un site est inversement proportionnelle à son rang. Elle a été observée dans la fréquence d'apparition des lettres dans la langue Anglaise, mais aussi à l'échelle nationale et mondiale sur les population des villes.</p> <p>En 1955, Herbert Simon a conçu un modèle de croissance qui repose sur trois hypothèses simples et qui semble adapté pour décrire des systèmes naturels et sociaux, en particulier celui de la croissance des villes.</p> <p>Les n sites (ou villes) ont une population $T_1 \geq T_2 \geq \dots \geq T_n$. Lors de l'arrivée d'un nouvel habitant, il fonde un nouveau site avec probabilité α ou rejoint la ville i avec probabilité proportionnelle à $(1 - \alpha) T_i$.</p> <p>Un tel système suit une loi de Zipf limite, avec un paramètre variable et dépendant de α.</p>			

Simulation de la croissance des villes (II)

On simule le système sur 1000 arrivées, puis pour améliorer la précision, sur 900 arrivées supplémentaires.

A line graph showing population growth over time. The x-axis represents time in years from 0 to 1000, with major ticks every 100 units. The y-axis represents population from 0 to 0.5, with major ticks every 0.1 units. The curve starts at (0, 0) and rises very steeply initially, then levels off. A dashed vertical line is drawn at approximately 750 years, indicating the end of the simulation for 1000 arrivals.

A line graph showing population growth over time. The x-axis represents time in years from 0 to 100, with major ticks every 10 units. The y-axis represents population from 0 to 0.5, with major ticks every 0.1 units. The curve follows a similar path to the first graph but ends earlier, at approximately 90 years, indicated by a dashed vertical line. This represents the results for 900 arrivals.

Conclusion

Après un temps assez long, la proportion de la population dans la deuxième ville est de l'ordre de 3%.

Ergodicité

Exemple

F. Perrinmin (UFE)

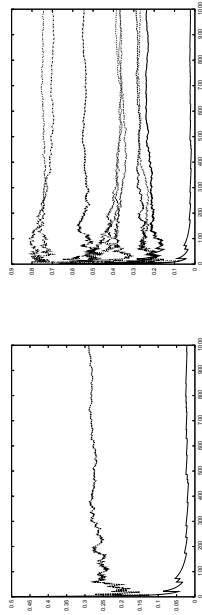
Évaluation des Performances

February 17, 2009

42 / 51

Simulation de la croissance des villes (III)

On refait la simulation plusieurs fois:



Explication

Cette variable n'est pas ergodique, la moyenne de Cesaro ne converge pas vers l'espérance.

Théorème

F. Perronnin (UJF) Évaluation de Performances February 17, 2009 43 / 51

Ergodicité

Exemple

Outline

Conclusion

- 1 Introduction
- 2 Classification
- 3 Simulation Monte-Carlo
- 4 Simulation à événements discrets
- 5 Ergodicité

Conclusion

Cette variable n'est pas ergodique, la moyenne de Cesaro ne converge pas vers l'espérance.

Théorème

F. Perronnin (UJF) Évaluation de Performances February 17, 2009 43 / 51

Conclusion

Erreurs classiques

Common mistakes in simulation [Jain].

- attention aux bugs
- **valider** la simulation
- adapter le type de simulation au système étudié
- connaître d'avance les types d'output à donner
- vérifier la stationnarité du processus
- représentativité des entrées
- choix des **conditions initiales**
- coût du projet
- optimiser les E/S (enregistrement de traces notamment)

F. Perronnin (UJF) Évaluation de Performances February 17, 2009 45 / 51

Sources

Remerciement

Les sections Monte-Carlo, Ergodicité et Simulation Parfaite sont adaptées de la présentation de B. Gaujal: *La Simulation en Science*, 2006.

Bibliographie

- Asmussen and Glynn, *Stochastic Simulation. Algorithms and Analysis*, Springer-Verlag, 2007.
- Banks, Carson, Nelson and Nicol, *Discrete-Event System Simulation*, Prentice Hall, 2001.
- Jain, *The Art of Computer Systems Performance Analysis*, Wiley, 1991.
- Le Boudec, *Performance Evaluation of Computer and Communication Systems*, 2006.

F. Perronnin (UJF) Évaluation de Performances February 17, 2009 46 / 51

Conclusion

Conclusion

Parfaite

Simulation parfaite

Simulation parfaite

Simulation parfaite

Simulation parfaite

Simulation parfaite

Simulation parfaite

Outline

Simulation parfaite

Dans les simulations précédentes, on obtient une convergence asymptotique vers la mesure stationnaire.

$$\lim_{t \rightarrow \infty} X_t \sim \pi.$$

Il existe cependant des techniques de simulations Propp et Wilson , 1996 qui permettent d'obtenir des échantillons distribués exactement selon la mesure stationnaire, en temps fini, τ (dit temps de couplage):

$$X_\tau \sim \pi.$$

Ces techniques utilisent un couplage vers l'arrière.

F. Perronnin (UJF) Évaluation de Performances February 17, 2009 47 / 51

F. Perronnin (UJF) Évaluation de Performances February 17, 2009 48 / 51

